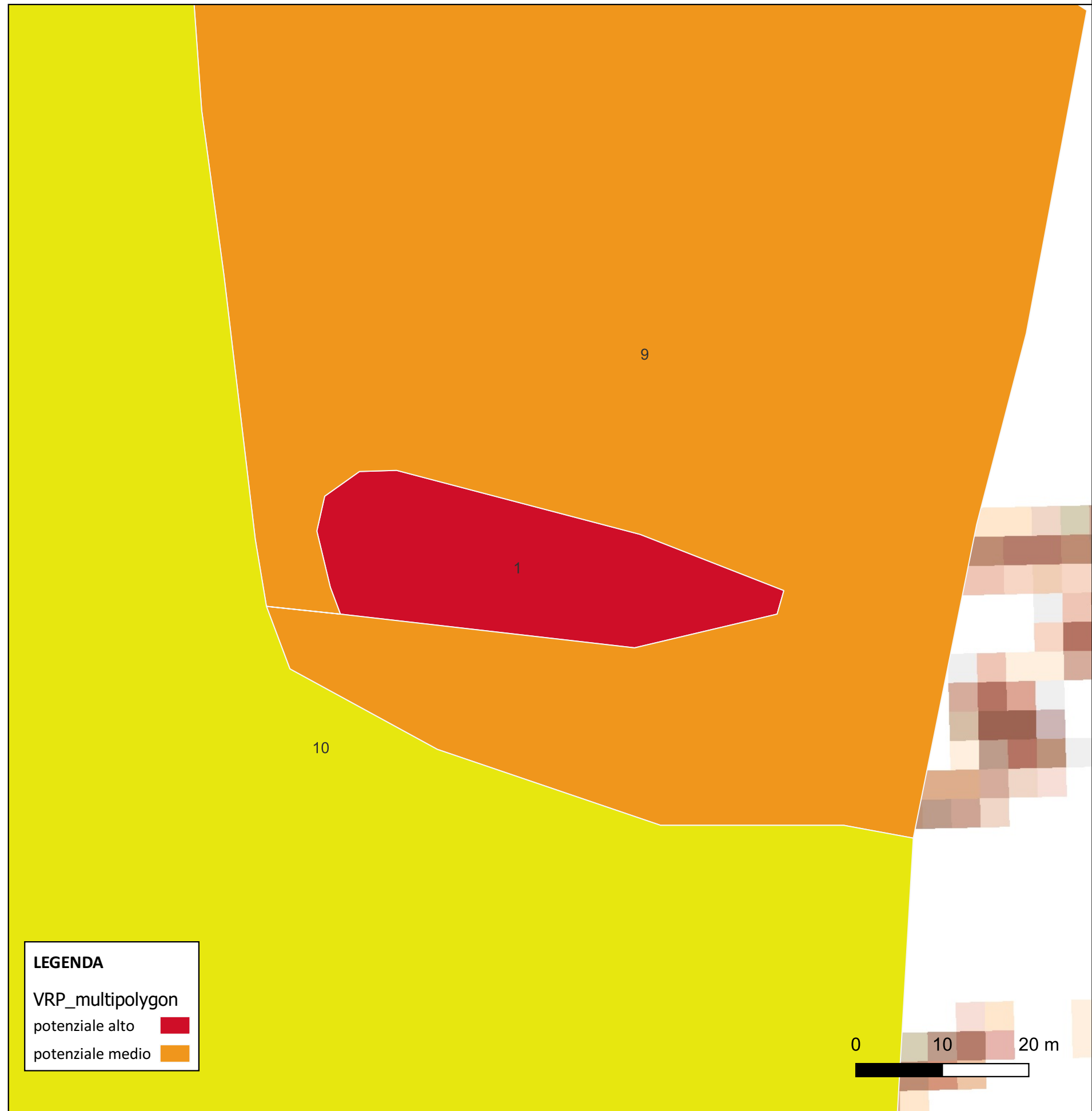


CARTA DEL POTENZIALE - SABAP-FR-LT_2023_00426-FS_000001 - area 1

potenziale alto - affidabilità ottima

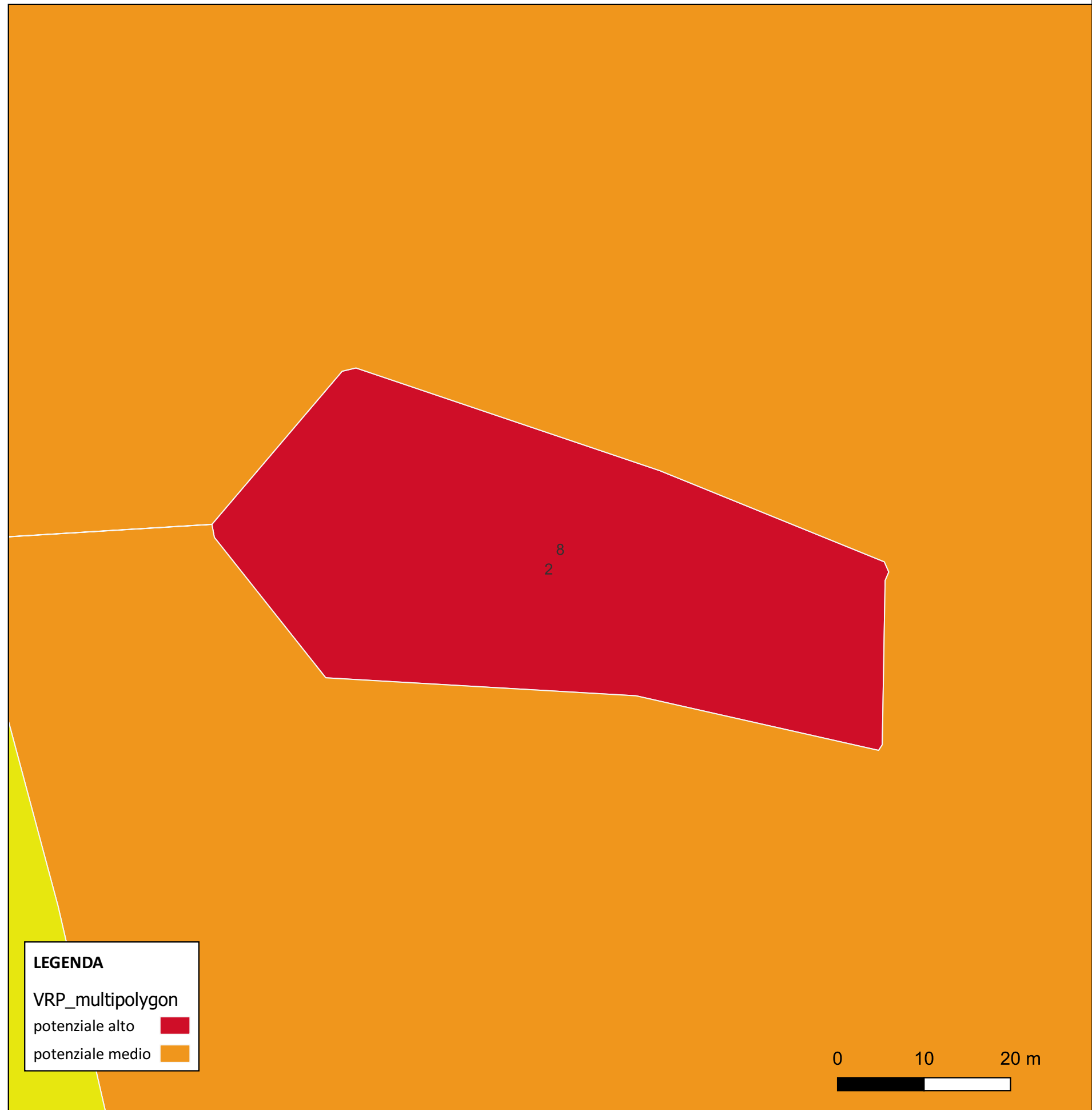
Area corrispondente al sito MOSI n. 28, caratterizzata da una concentrazione di materiale da costruzione e ceramico, relativa a un insediamento agricolo sicuramente attivo in età imperiale. Sulla base dei dati a disposizione non è possibile determinare se si tratti di un insediamento indipendente, o di una pertinenza dei vicini siti MOSI 29, 30 e 31. La relazione tra i siti censiti nell'area di indagine consente di delineare le forme principali di occupazione del territorio, basate su una distribuzione concentrata sui cigli delle aree rilevate, prospicienti la valle Varaneri a est, il fosso di S. Procolo a ovest, e la più lontana valle del Sacco a sud.



CARTA DEL POTENZIALE - SABAP-FR-LT_2023_00426-FS_000001 - area 2

potenziale alto - affidabilità ottima

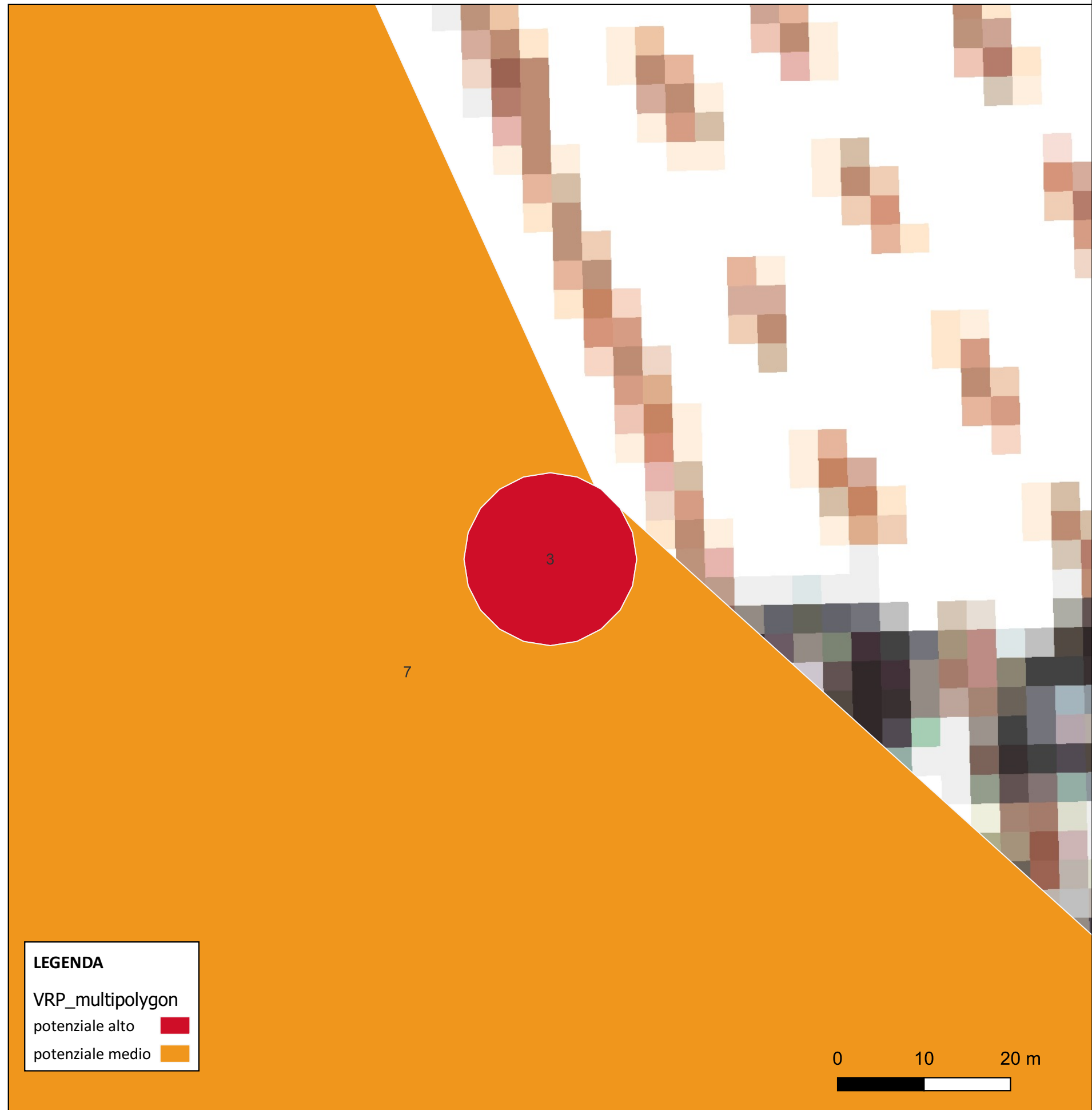
Area corrispondente al sito MOSI n. 29, caratterizzata da una concentrazione di materiale da costruzione e ceramico, relativa a un insediamento agricolo attivo in età imperiale. Sulla base dei dati a disposizione non è possibile determinare se si tratti di un insediamento indipendente, o di una pertinenza dei vicini siti MOSI 28, 30 e 31. La relazione tra i siti censiti nell'area di indagine consente di delineare le forme principali di occupazione del territorio, basate su una distribuzione concentrata sui cigli delle aree rilevate, prospicienti la valle Varaneri a est, il fosso di S. Procolo a ovest, e la più lontana valle del Sacco a sud.



CARTA DEL POTENZIALE - SABAP-FR-LT_2023_00426-FS_000001 - area 3

potenziale alto - affidabilità buona

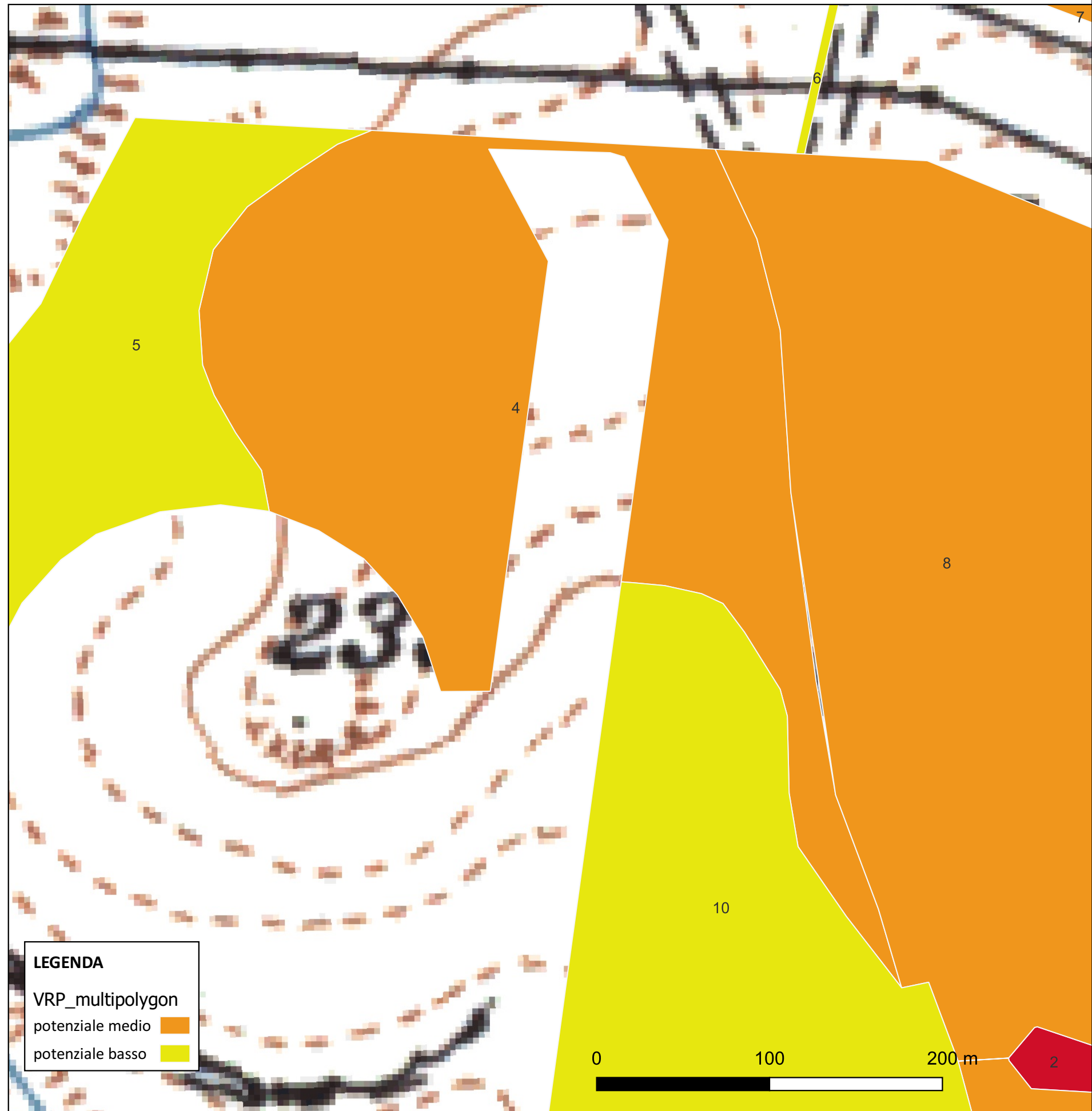
Area corrispondente al sito MOSI n. 30, caratterizzata da una concentrazione di materiale da costruzione e ceramico, relativa a un insediamento agricolo probabilmente attivo dall'età reppubblicana. Sulla base dei dati a disposizione non è possibile determinare se si tratti di un insediamento indipendente, o di una pertinenza dei vicini siti MOSI 28, 29 e 31. La relazione tra i siti censiti nell'area di indagine consente di delineare le forme principali di occupazione del territorio, basate su una distribuzione concentrata sui cigli delle aree rilevate, prospicienti la valle Varaneri a est, il fosso di S. Procolo a ovest, e la più lontana valle del Sacco a sud.



CARTA DEL POTENZIALE - SABAP-FR-LT_2023_00426-FS_000001 - area 4

potenziale medio - affidabilità buona

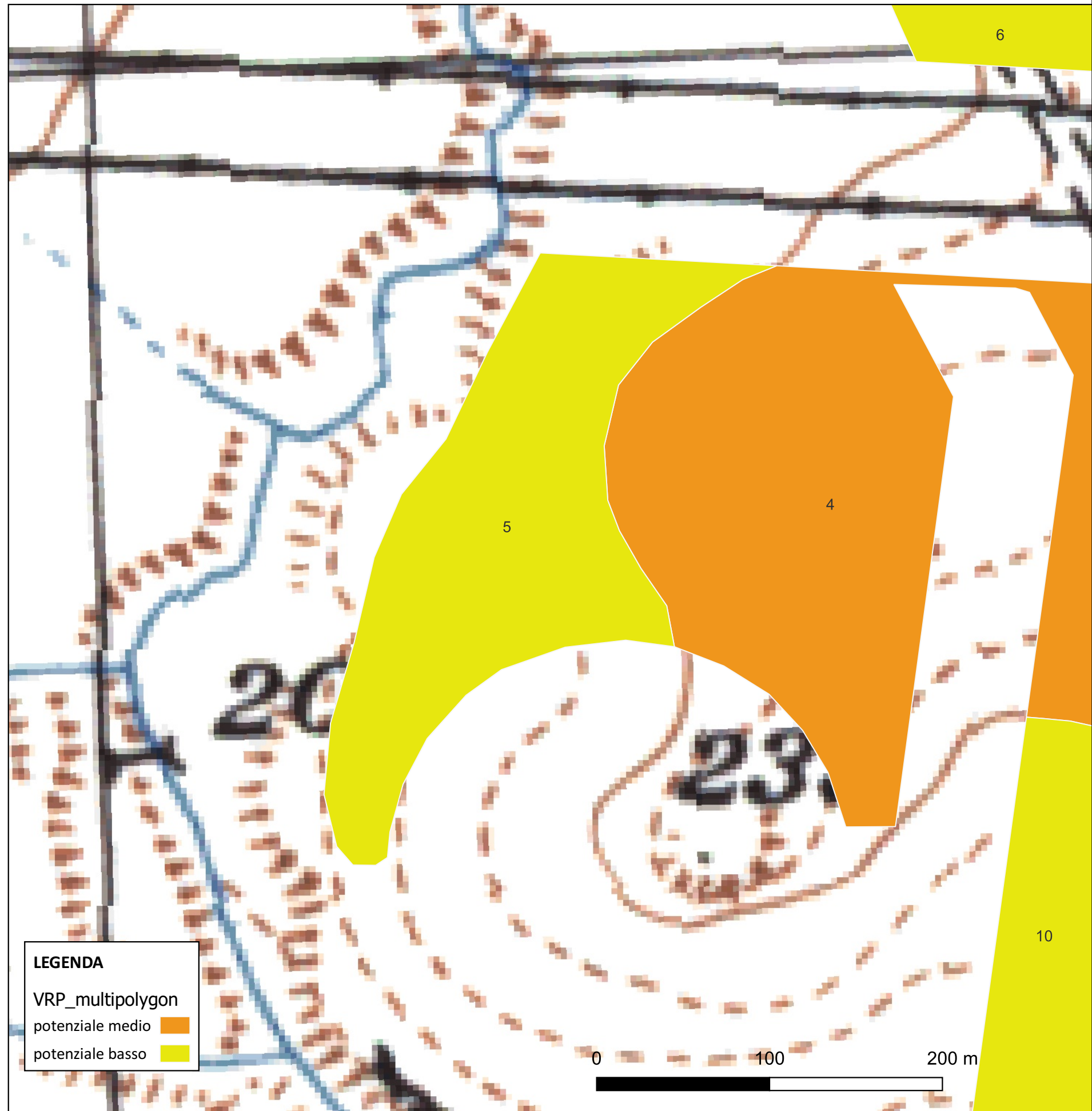
Potenziale attribuito sulla base degli esiti della ricognizione, delle caratteristiche geomorfologiche favorevoli all'insediamento, e alla prossimità al sito MOSI n. 31. Nel corso della ricognizione, soprattutto nell'area più prossima al limite della fascia di rispetto del sito MOSI 31, è stata osservata una dispersione diluita di frammenti ceramici e materiale da costruzione, probabilmente dislocati dalle lavorazioni agricole.



CARTA DEL POTENZIALE - SABAP-FR-LT_2023_00426-FS_000001 - area 5

potenziale basso - affidabilità buona

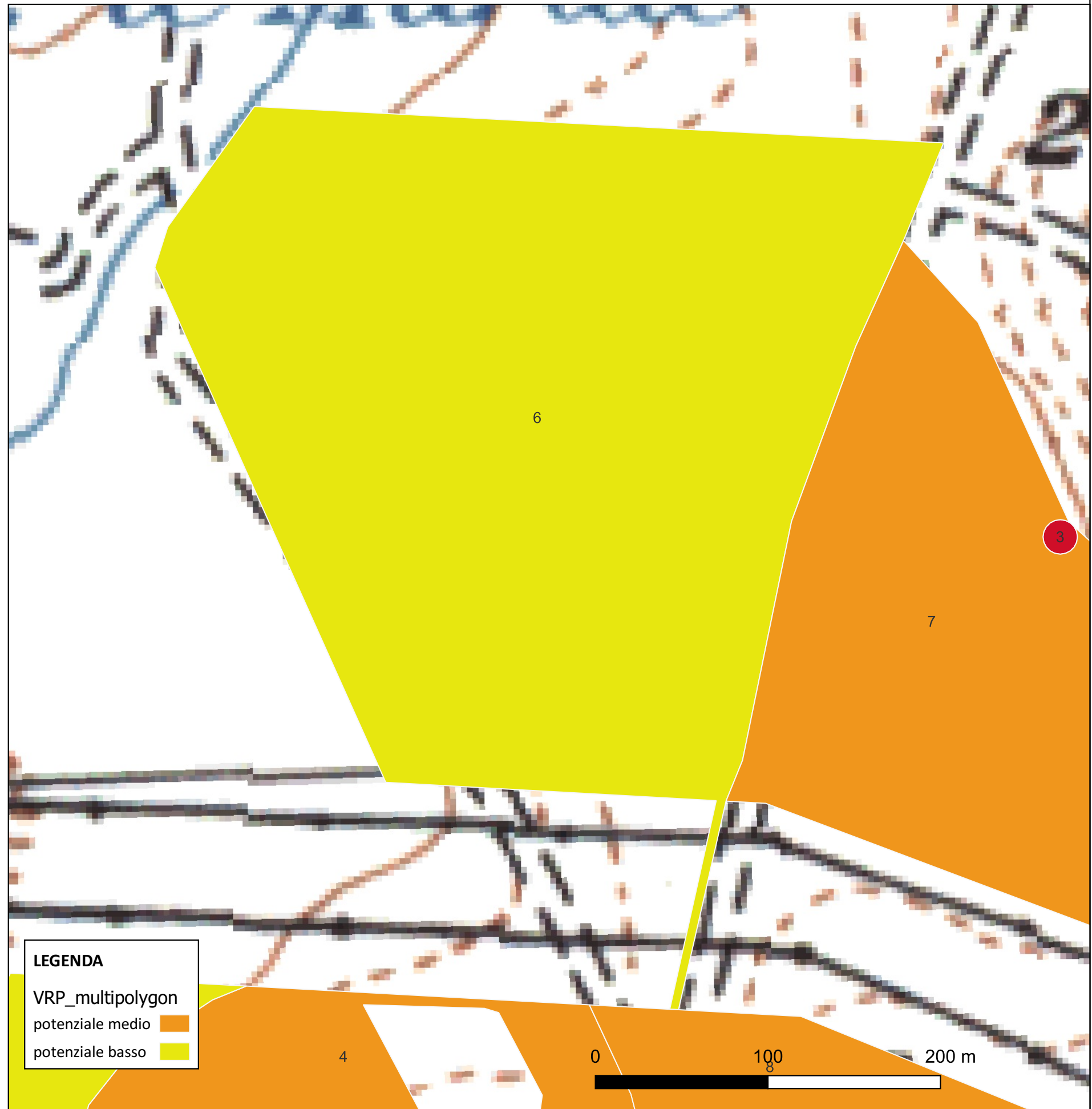
Area scoscesa verso il fosso di S. Procolo. Le caratteristiche geomorfologiche differenti rispetto alle zone in cui sono posizionati i siti MOSI 28-31, unite agli esiti della ricognizione, consentono di attribuire un grado di potenziale basso.



CARTA DEL POTENZIALE - SABAP-FR-LT_2023_00426-FS_000001 - area 6

potenziale basso - affidabilità ottima

Potenziale attribuito sulla base degli esiti della ricognizione che ha evidenziato una scarsissima presenza di materiali in superficie, di natura erratica. La buona visibilità ha consentito di considerare affidabile tale valutazione.



CARTA DEL POTENZIALE - SABAP-FR-LT_2023_00426-FS_000001 - area 7

potenziale medio - affidabilità discreta

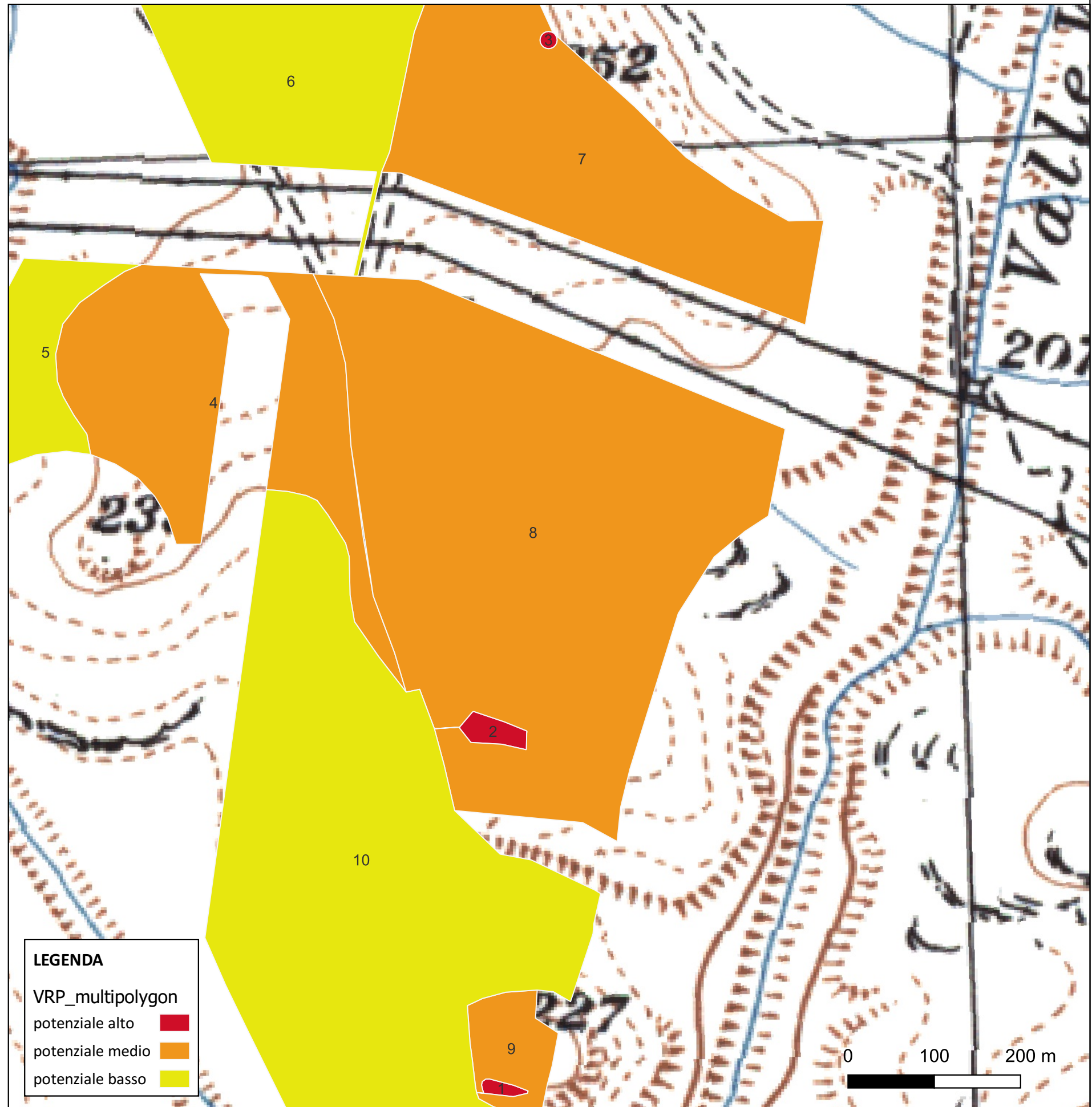
Area di pertinenza del sito MOSI n. 30. Le caratteristiche geomorfologiche favorevoli all'insediamento e la prossimità alla concentrazione di materiale antico MOSI 30, determinano un valore di potenziale medio.



CARTA DEL POTENZIALE - SABAP-FR-LT_2023_00426-FS_000001 - area 8

potenziale medio - affidabilità discreta

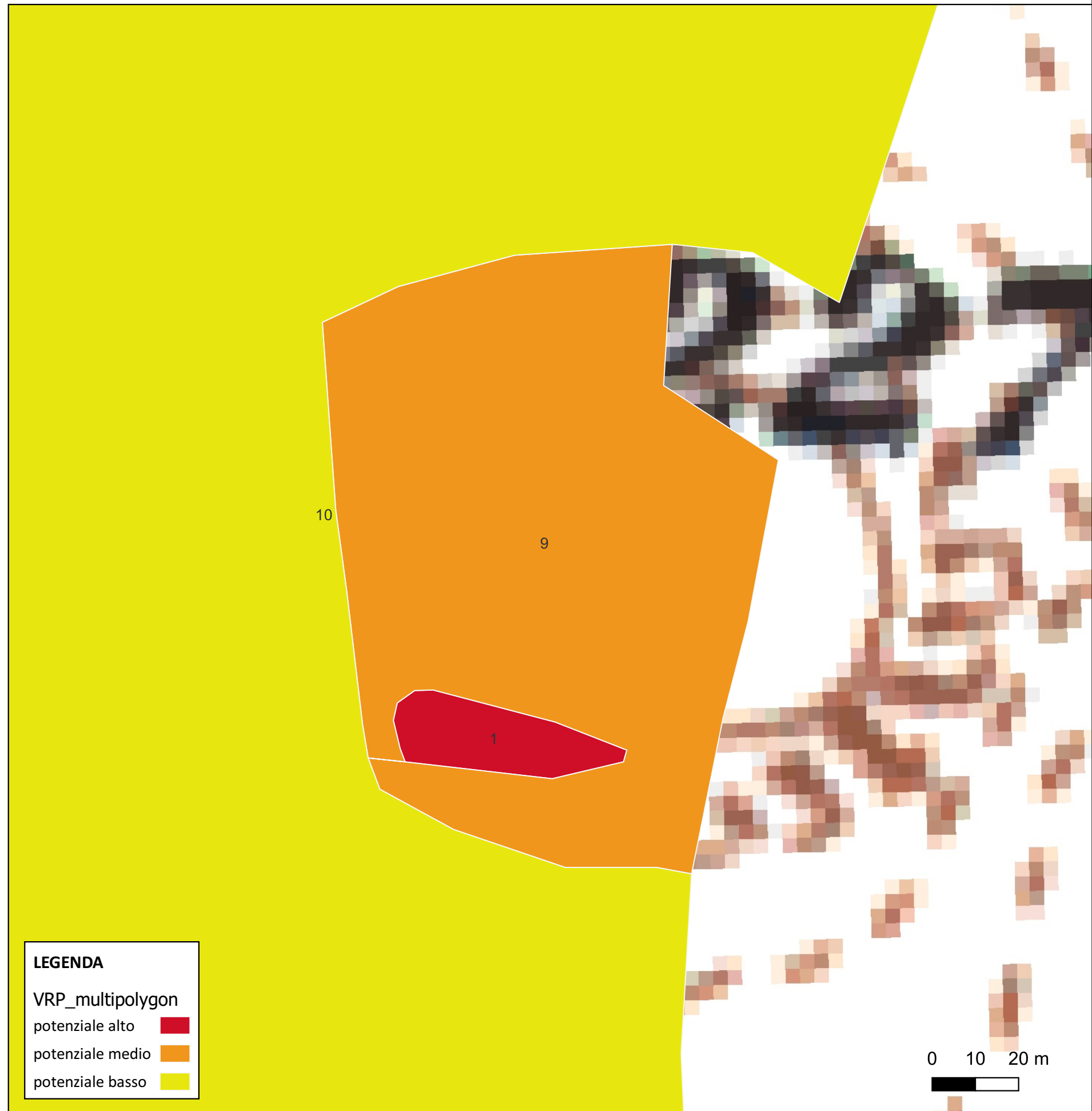
Potenziale attribuito sulla base delle caratteristiche geomorfologiche favorevoli all'insediamento, e della prossimità al sito MOSI n. 29.



CARTA DEL POTENZIALE - SABAP-FR-LT_2023_00426-FS_000001 - area 9

potenziale medio - affidabilità discreta

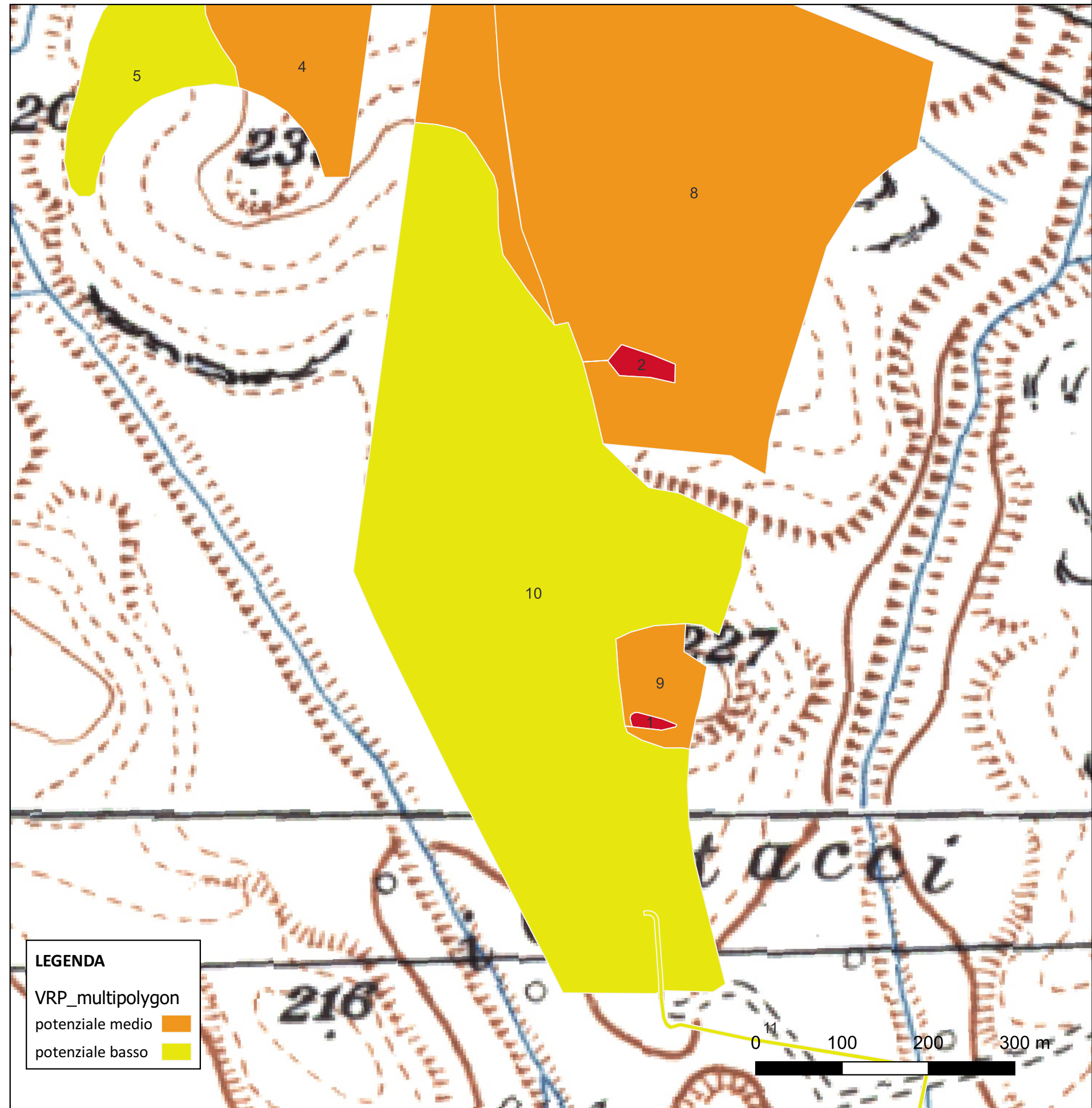
Potenziale attribuito sulla base delle caratteristiche geomorfologiche favorevoli all'insediamento, e della prossimità al sito MOSI n. 28.



CARTA DEL POTENZIALE - SABAP-FR-LT_2023_00426-FS_000001 - area 10

potenziale basso - affidabilità discreta

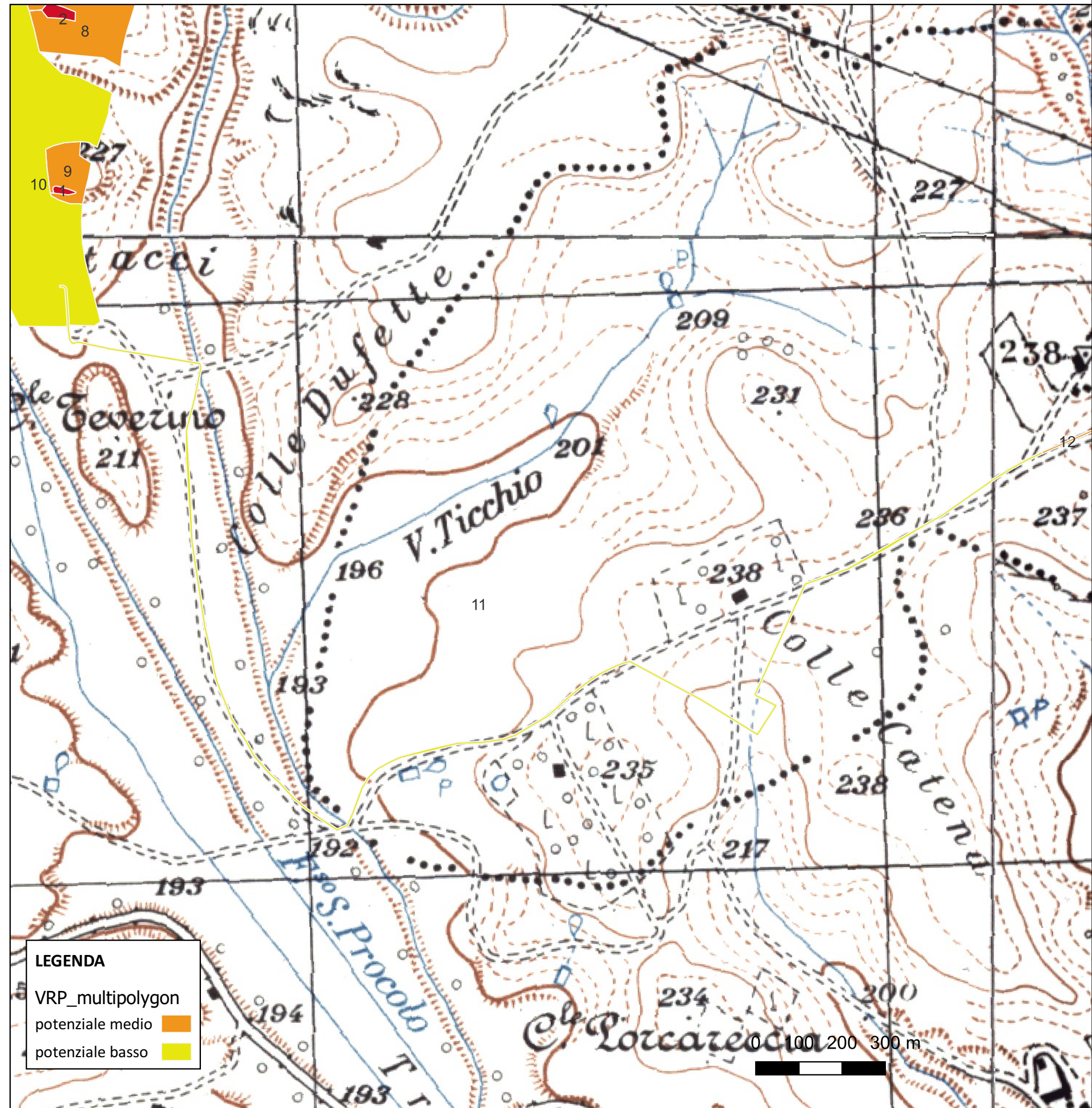
Grado di potenziale attribuito sulla base delle caratteristiche geomorfologiche e degli esiti della ricognizione. Si tratta di zone scoscese con pendenza verso la valle Varaneri e il fosso S. Procolo. In generale, nel territorio indagato, le aree scelte per l'insediamento ricadono ai margini dei pianori, come testimoniato dai siti MOSI n. 28-31.



CARTA DEL POTENZIALE - SABAP-FR-LT_2023_00426-FS_000001 - area 11

potenziale basso - affidabilità scarsa

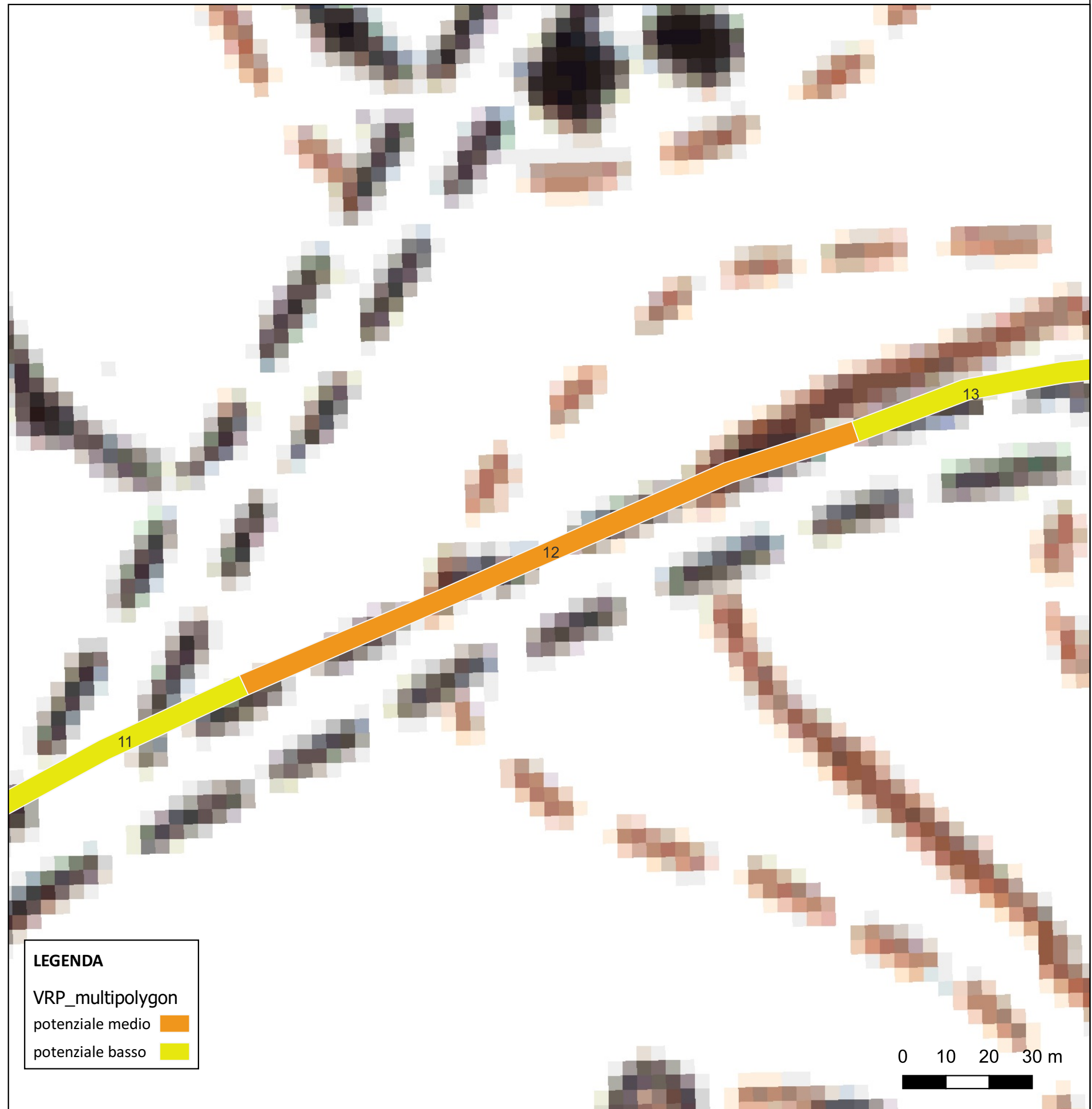
Area del cavidotto alla quale, sulla base delle caratteristiche geomorfologiche e di contesto è stato attribuito il grado di potenziale basso. Nelle zone circostanti non sono noti siti archeologici e l'area si trova in una zona pianeggiante di fondovalle.



CARTA DEL POTENZIALE - SABAP-FR-LT_2023_00426-FS_000001 - area 12

potenziale medio - affidabilità scarsa

Area del cavidotto subpianeggiante compresa tra due alture (Colle Tondo a N e un rilievo anonimo a quota 237 a S), aperta sulla valle del fosso del Castellaccio. Pur in assenza di siti noti, la posizione in rapporto alla geomorfologia determina l'attribuzione del grado di potenziale medio.



CARTA DEL POTENZIALE - SABAP-FR-LT_2023_00426-FS_000001 - area 13

potenziale basso - affidabilità scarsa

Settore del cavidotto insistente su un'area scoscesa verso la valle del fosso del Castellaccio. L'assenza di siti noti e la posizione in rapporto alla geomorfologia determinano il grado di potenziale basso.

